UDC 621.873

產業安全研究所研究報告

RESEARCH REPORT OF
THE RESEARCH INSTITUTE OF INDUSTRIAL SAFETY

RR-18-2

揚貨装置のワイヤロープに作用する荷重 (けんか巻きの場合)

袴塚禎三・粂川壮一

労働省産業安全研究所 MINISTRY OF LABOUR THE RESEARCH INSTITUTE OF INDUSTRIAL SAFETY

揚貨装置のワイヤロープに作用する荷重 (けんか巻きの場合)

袴塚禎三* 粂川壮一*

The Tensions in Wire-ropes of Ships' Derricks

(on Union Purchase)

TEIZŌ HAKAMAZUKA* SŌICHI KUMEKAWA*

We measured the tensions of wire-ropes on union purchase in which a pair of derricks is used in combination on ship rigs.

The measurments were followed by 7 typical layouts of derricks (Table-1), and the results are as the following.

- 1) The tensions of wire-ropes when the cargo load runs from side to side horizontally. The datum are Table-2~19. About 5 times tension of cargo load was acting at maximum in the topping-lift-wires of this derrick, and about 3 times in guys.
- 2) The tensions of wire-ropes at lifting up the load. Table-20 is the result. The maximum dynamic loads in topping-lift-wires were approximately 1.5 to 3 times of cargo load.
- 3) The shock loads in wire-ropes at sudden stop when cargo is moving down (Table-21). The maximum ratios of shock load to static load were about 6 in cargo runners, about 2.5 in topping-liftwires or center guy and about 4 in guys.
- 4) The tensions in wire-ropes when cargo load is swinging in parpendicular or parallel direction to the ship center-line (Table-22). In this case, the max. load in wire-ropes was added approximately to the static load.

Besides, for the purpose to find the most suitable fixed position of the guy, we calculated the tensions of guys when a unit horizontal force is acting on the boomhead. The datum are Fig. 7 \sim 14. On these cases shown at b<4 m on $\theta=25^{\circ}$, b<3.3 m on $\theta=35^{\circ}$, b<3 m on $\theta=40^{\circ}$ and b<2.8 m on $\theta=45^{\circ}$, the positions where the guy tension get the minimum value are in the forward side to goose-neck. And on another cases the positions of the goose-neck side are desirable.

^{*} 機械課 Mechanical Section

1. 緒 言

船舶の荷の積み卸しには、殆どが揚貨装置すなわち船舶に取り付けられているクレーンが使用され、陸上のクレーンが使用されることは極く少ない.この揚貨装置はジブクレーンの型式のものもあるが、極く稀であり、殆どが二本ブームのデリックの型式である.そして港湾労働においては、このような装置を使用することによってしばしば大事故を招いている.その原因には装置の段取りの不手際とか、操作不良とか、玉掛不良とか、これらに基づくブームの折損とか、様々であるが、共通的な原因として言えることは、操作する者が、装置の各部材にかかる力、特に運搬中のワイヤロープに力がどのようにかかるかを良く理解していなかったためと考えられる場合が多い.

更に詳しく言えば、デリック型式の揚貨装置が使用される場合、大別して分銅巻きとけんか巻きの二通りの使用法があるが、特に後者の場合、ガイは静力学的に不静定であること、ガイの固定する位置によって各ワイヤロープに作用する力が極端に変化する場合があること、一つのガイを緊張させることによって他のワイヤロープに極端に大きな張力を与える場合があることなどのため、荷重の傾向を直観的に理解することが難しい。もともとこれらの荷重の算定は、ワイヤロープやその他の部材のばね常数が定まれば計算によって求める事はできるが、実用上算定は繁雑であり、更に運転中は動荷重も加わるので、これらが総合された結果を把握し、安全な作業を推進するための参考とすべく以下述べるような実験を行なった。

2. 実験の施設

実験に使用した揚貨装置は、愛知総合 職業 訓練所 (名古屋市) に設けられた訓練用の揚貨装置で陸上に 設置されたものである.

構造の概要は **Fig. 1**, **Fig. 2** に示すもので, 仕様の大略は

カーゴハッチ9m×4mデリックブーム5t×12m×2カーゴウィンチ3t×2 台デリックポスト650 Φ×10 mポスト間隔4 m

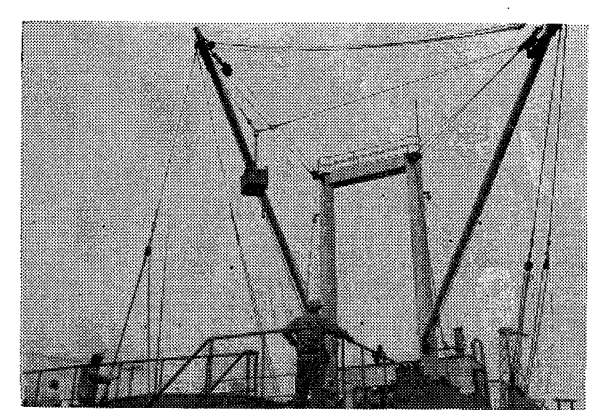


Fig. 1 The Whole View of Derriks 揚貨装置の全景

カーゴワイヤ	6×24	22ϕ
スタンディングガイ		
{ペンダント ロ ー プ	6×19	24ϕ
しゅ ー プ	マニラ	24ϕ
プリベンタガイ		
∫ペンダント	6×19	24ϕ
{ペンダント ガ イ	6×24	20ϕ
トッピングリフト	6×24	24ϕ
センターガイ	マニラ	24ϕ
である.		

ウィンチは油圧駆動で、その動力油圧は 33 kW の電動機により駆動されるポンプより送られる。また2台のウィンチはそれぞれ運転手を必要とするため、2名により共同運転を行なう。

ワイヤロープの荷重の測定は、ワイヤストレインゲージを利用したロードセル (Fig. 3) をワイヤロープの端にシャックルを介して連結し、9カ所(カーゴワイヤ2、トッピングリフトワイヤ2、スタンディングガイ2、ペンダントガイ2、センターガイ1) にかかる荷重について行なった。

使用したストレインメータおよび記録装置は、共和電業(株)製の動的歪測定器(DPM-6 CT)および電磁オッシログラフ RMV 型である. 歪測定器のゲージにかかる電圧は約 $2\,\mathrm{V}$, $5,000\,\mathrm{Hz}\pm5\%$ であり、応答周波数特性は $0\sim1,000\,\mathrm{Hz}$ 内で、偏差 $10\%\,\mathrm{U}$ 内である. オッシログラフのガルバノメータは固有振動数 $400\,\mathrm{Hz}$ で現象 $0\sim300\,\mathrm{Hz}$ の範囲内で感度一様($\pm5\%$)な特性を有するものである. 尚歪ゲージは抵抗の $120\,\Omega$ ものを使用した.

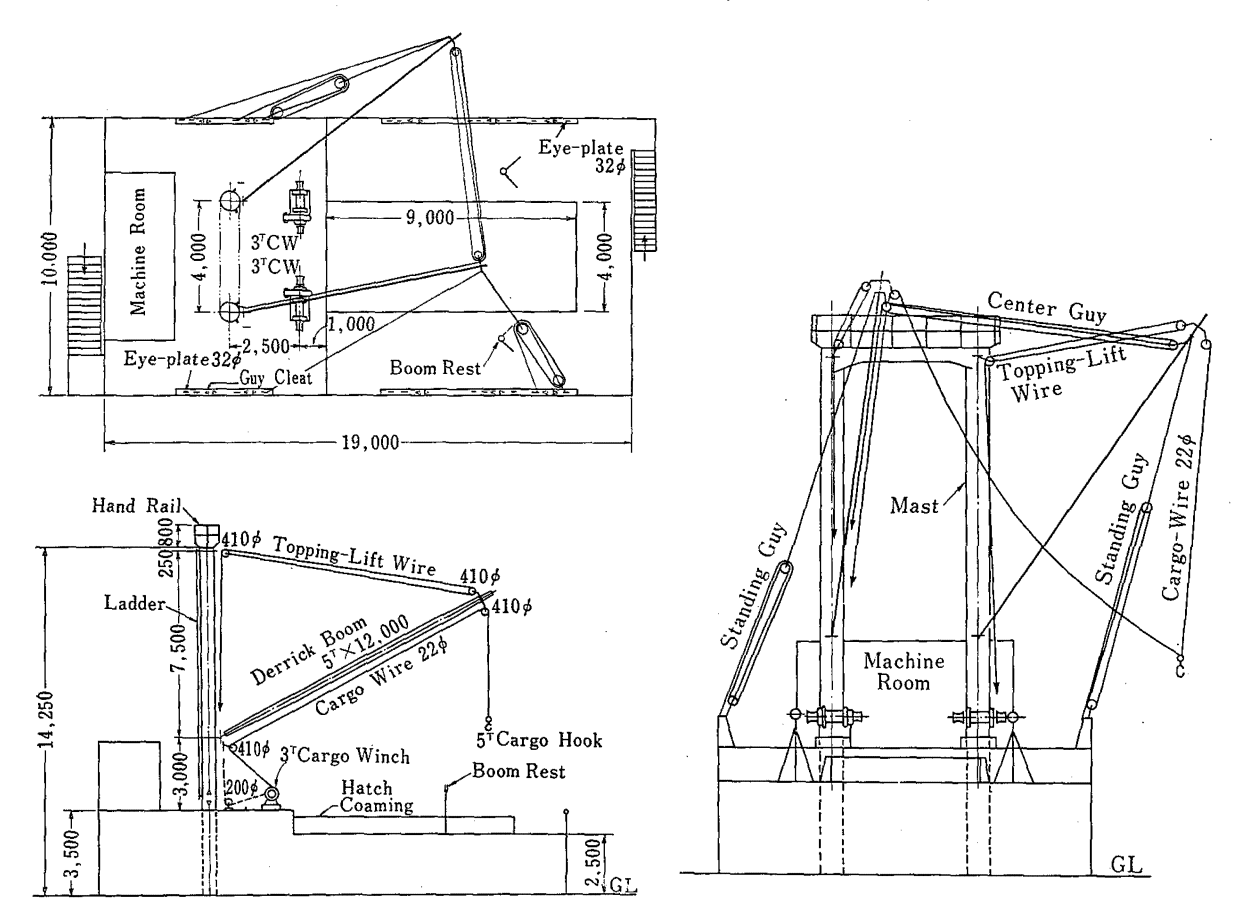


Fig. 2 The Projected plane and elevations of Equipment 揚 貨 装 置

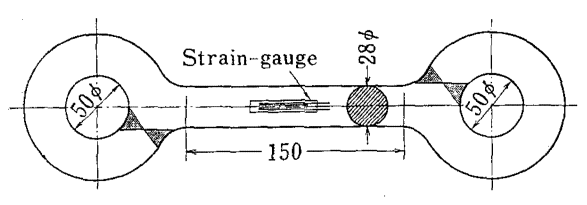


Fig. 3 Load-Cell

3. 実験の方法

実際の吊荷の経路は Fig. 4 の点線に示すようなものであるが、この過程を分けて考えると、巻き上げ、横移動、巻き下しの三つが考えられる。それぞれのこれらの過程の中で、ワイヤロープに大きな張力が働くと思われるのは、静的荷重では、荷を高く吊り上げて横移動させる場合であり、動的荷重では、地切りの瞬間と急停止した場合、および荷が揺動した場合などである。そこで

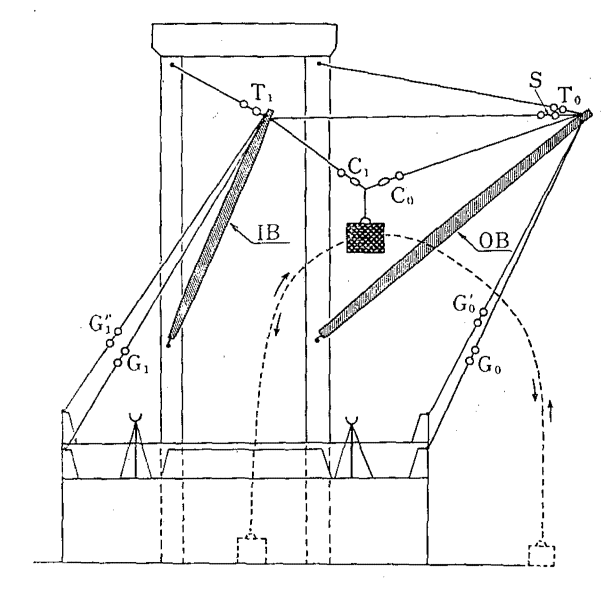


Fig. 4 The position of load-cell ロードセル取付位置

- (1) 横移動中における各ワイヤロープの張力
- (2) 地切りの際における各ワイヤロープの最大張力
- (3) 巻き下げ中急停止させた場合の各ワイヤロープ の張力
- (4) 吊り上げて荷が揺動した場合の各ワイヤロープ の張力

の4過程に分けて測定した.

この測定に際して、ブームおよびガイの設定は、代表的な7種の場合を選定した。その条件を Table。1 に示す。なお、この表の中でブームの仰角とはブームが水平面となす角をいい、ブーム先端の位置 b とは、ブーム先端と船の中心線との水平距離を表わすものである。またガイの固定位置はペンダントロープの延長線とブルワークとの交点を示すもので、実際にブロックやロープが固定された位置と若干異なる場合がある。この位置を表示するためのガイの位置 m は Fig. 5 に示すように、この点からグースネックの真横のブルワークの点までの距離を表わす。運転手からみて前方、つまりハッチの側をに十とって表示した。

吊角ωは吊荷がハッチの中心線上にある時の二つの カーゴワイヤのなす角を示すものである.

Table. 1 The particulars set out on two pairs of derricks
デリックの設定条件

	An of E wi Hori	th zo-	of E	tion Boom ad	The	positic Fixed	on of (mm)	Guy	Angle between inboard and
	_(θ	ntal °)	(b	m)	Stan Gı	ding 1y	Preve Gu		outboard Runners
	IB	ОВ	ΙB	ОВ	IB (m)	OB (m)	IB (m)	OB (m)	(ω°)
No. 1	40°	25°	0	8	+10.0	+0.5	-2.0	-2.0	72°
No. 2	45°	35°	0	8	+10.0	+0.5	なし	なし	90°
No. 3	25°	40°	2	8	+ 8.0	+0.5	-2.0	-2.0	90°
No. 4	35°	45°	2	8	+ 7.0	7.0 + 0.5		なし	90°
No. 5	25°	40°	3	8	+ 5.5	+0.5	-2.0 -2.		93°
No. 6	35°	45°	3	8	+ 2.0	+0.5	なし	なし	85°
No. 7-1 No. 7-2 No. 7-3	40°	40°	8	8	なし	なし	-2.0	-2.0	95° 105° 120°
No. 8	35°	45°	2	8	+ 7.0	+0.5	+4.0	-2.0	_

[Note] IB=Inboard Boom OB=Outboard Boom

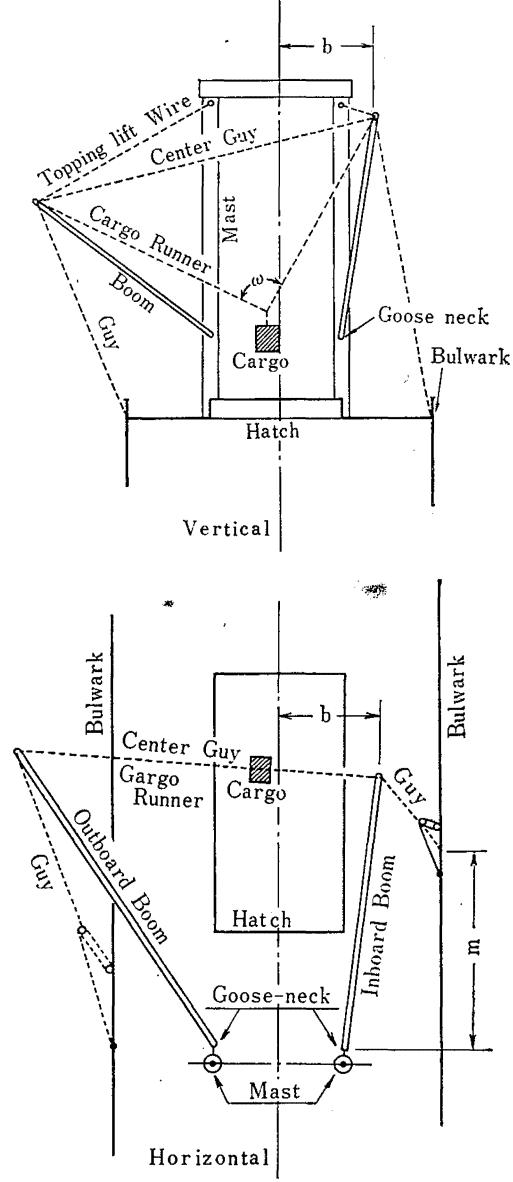


Fig. 5 Planes of Derricks 揚貨装置図

4. 測定の結果

(1) 横移動の場合

前述のブームおよびガイの設定条件により 吊荷 (500 kg のコンクリートブロック)を出 来るだけ円滑に水平移動させ,各点 (l=船 の中心線と吊荷の水平距離.OB 側を+にと る)における各ワイヤロープに働いた荷重を 測定した.その結果を **Table**. 2~**Table**. 19 にて示す.

Table. 2 The Tensions in wire-ropes (kg) 各ワイヤロープにかかる張力 (kg)

Lay out of Derrick; No. 1 Cargo runs from IB Side to OB Side

Position of carg										
Wire Ropes	(l m)	0	1	2	3	4	5	6	7	8
C D (C)	ΙB	455	460	400	425	390	345	300	205	80
Cargo Runner (C)	ОВ	30	50	155	250	265	350	365	420	435
Topping-lift	ΙB	1, 990	2, 025	2, 015	2, 040	2, 040	1, 940	1, 855	1, 835	1, 475
Wire (T)	0 B	1, 205	1, 215	1, 335	1, 435	1, 535	1, 685	1, 675	1,810	1, 830
Center Guy (S)		120	95	35	20	10	10	10	30	90
Standing Com (C)	ΙB	305	400	390	420	530	550	540	425	390
Standing Guy (G)	ОВ	675	620	795	880	930	910	855	785	630
Proventor Curr (C/)	ΙB	20	20	20	20	20	20	20	20	20
Preventer Guy (G')	ОВ	20	20	20	20	20	20	20	20	20

[Note] Preventer Guy loosed for test in Table. 2~Table. 19.

Table. 3 The Tensions in Wire-ropes (kg) 各ワイヤロープにかかる張力 (kg)

Lay out of Derrick; No. 1 Cargo runs from OB Side to IB Side

* '							_			
Position of carg	go load (l m)	0	1	2	3	4	5	6	7	8
Cause Burney (C)	ΙB	485	465	435	425	390	345	295	140	0
Cargo Runner (C)	ОВ	0	80	160	250	320	370	345	425	590
Topping-lift	ΙB	2,025	2,005	1,985	2,055	2,030	1,895	1,890	1,520	1,395
Wire (T)	ОВ	1,095	1, 220	1,340	1,460	1,585	1,715	1,715	1,830	1,970
Center Guy (S)		135	90	40	10	0	5	10	. 55	150
Standing Curr (C)	ΙВ	295	335	360	495	550	530	465	400	385
Standing Guy (G)	ОВ	595	670	745	905	995	1,010	970	78.0	615
Proventor Cur (C/)	IΒ	20	20	20	20	20	20	20	20.	20
Preventer Guy (G')	ОВ	20	20	20	20	20	20	20	20	20

Table. 4 The Tensions in Wire-ropes (kg) 各ワイヤロープにかかる張力 (kg)

Lay out of Derrick; No. 2 Cargo runs from IB Side to OB Side

				,			_			
Position of carg	go load (l m)	0	1	2	3	4	5	6	7	8
Cargo Runner (C)	ΙB		395	395	300	320	210	210	105	0
Cargo Kunner (C)	ОВ		50	100	215	215	330	305	395	385
Topping-lift	ΙB		2,065	2, 120	1,990	2,030	1,855	1,855	1,705	1,585
Wire (T)	ОВ		1,290	1,330	1,475	1,520	1,655	1,670	1,805	1,785
Center Guy (S)			165	125	80	70	55	80	110	175
Standing Guy (G)	ΙB		925	765	1,000	900	1,030	905	975	850
Standing Guy (G)	ОВ		795	925	915	965	915	975	930	955
Preventer Guy (G')	ΙB		0	0	0	0	. 0	0	0	0
"	ОВ		0	. 0	0	0	0	0	0	0

Table. 5 The Tensions in Wire-ropes (kg) 各ワイヤロープにかかる張力 (kg)

Lay out of Derrick; No. 2 Cargo runs from OB Side to IB Side

,	-			,						
Position of cars Wire Ropes	go load (l m)	0	1	2	3	4	5	6	7	8
Canno Burnon (C)	I B	395	430	385	370	315	265	130	50	0
Cargo Runner (C)	ОВ	0	25	160	220	300	340	450	375	500
Topping-lift	I B	2, 160	2, 130	2, 035	2,080	1,970	1,910	1,630	1,710	1,585
Wire (T)	ОВ	1,115	1, 225	1,370	1,470	1,605	1,645	1,850	1,770	1,860
Center Guy (S)		210	160	105	70	50	60	95	145	215
Ctanding Corr (C)	I B	850	810	965	950	1,000	910	990	850	820
Standing Guy (G)	ОВ	905	950	945	940	960	1,015	920	955	935
Duamenton Curr (C()	ΙB	0	0	0	0	0	0	0	0	0
Preventer Guy (G')	ОВ	0	0	0	0	0	0	0	0	0

Table. 6 The Tensions in Wire-ropes (kg) 各ワイヤロープにかかる張力 (kg)

Lay out of Derrick; No. 3 Cargo runs from IB Side to OB Side

Position of car				-	_	_	_					
Wire Ropes	(l m)	$\mid -2 \mid$	-1	0	1	2	3	4	5	6	7	8
Cargo Runner (C)	IB	525	510	515	470	470	450	430	395	355	235	95
Cargo Kunner (C)	ОВ	75	125	205	260	330	395	430	455	485	490	530
Topping-lift	I B	2, 180	2, 195	2,275	2,360	2,435	2,475	2, 435	2,345	2, 215	1,855	1,545
Wire (T)	ОВ	1,220	1,265	1,370	1,475	1,600	1,700	1,800	1,855	1,915	1,955	1,945
Center Guy (S)		130	85	55	35	30	25	25	25	30	40	95
Ct - 1: (C)	ΙВ	545	595	710	835	950	1,035	1,065	1,050	1,005	940	570
Standing Guy (G)	ОВ	670	760	825	985	1,150	1,265	1,375	1,255	1,185	965	710
D	I B	120	110	130	140	175	180	195	190	170	125	115
Preventer Guy (G')	ОВ	40	50	45	50	50	50	50	75	105	50	50

Table. 7 The Tensions in Wire-ropes (kg) 各ワイヤロープにかかる張力 (kg)

Lay out of Derrick: No. 3 Cargo runs from OB Side to IB Side

Position of carr	go load (l m)	-2	-1	0	1	2	3	4	5	6	7	8
Cargo Runner (C)	I'B	_	560	550	530	510	535	490	395	275	190	
Cargo Runner (C)	ОВ		80	160	265	330	385	455	515	525	530	
Topping-lift	ΙB	*******	2,065	2,125	2,320	2,435	2, 525	2, 525	2, 280	1,990	1,690	
Wire (T)	ОВ		1,165	1,260	1,420	1,545	1,660	1,840	1,890	1,925	1,965	
Center Guy (S)			115	80	40	30	25	30	30	35	60	
Standing Guy (G)	ΙB		505	545	765	915	1,030	1,150	1,020	835	645	
Standing Guy (G)	ОВ		640	705	935	1,420	1,290	1,370	1,030	1,030	845	
Preventer Guy (G')	ΙB		105	115	130	150	175	205	185	125	115	
rieventer duy (d)	ОВ		50	50	55	55	55	75	65	50	50	

Table. 8 The Tensions in Wire-ropes (kg) 各ワイヤロープにかかる張力 (kg)

Lay out of Derrick; No. 4 Cargo runs from IB Side to OB Side

				(0)							OD Olac
Position of cars (Wire Ropes	go load l m)	-1	0	1	2	3	4	5	6	7	8
Cargo Runner (C)	ΙB	400	335	355	340	320	240	200	135	0	0
Cargo Runner (C)	ОВ	110	205	285	310	340	365	400	460	415	440
Topping-lift	ΙB	2, 225	2,225	2, 295	2, 332	2, 295	2, 180	2,030	1,975	1,755	1,660
Wire (T)	0 B	1,340	1, 435	1,555	1,605	1,675	1,730	1,765	1,810	1,840	1,845
Center Guy (S)		75	25	5	0	0	10	55	50	180	165
Standing Guy (G)	ΙB	885	1,000	1,340	1, 240	1, 285	1,210	1,125	1,070	910	905
——————————————————————————————————————	ОВ	1, 145	1, 260	1, 415	1,480	1, 430	1, 355	1, 250	1, 170	1,035	980
Preventer Guy (G')	ΙB	0	0	0	0	0	0	0	0	0	0
	ОВ	0	0	0	0	0	0	0	0	0	0

Table. 9 The Tensions in Wire-ropes (kg) 各ワイヤロープにかかる張力 (kg)

Position of care						_					
Wire Ropes	<i>l</i> m)	-1	0	1	2	3	4	5	6	7	8
Cargo Runner (C)	ΙB	_	415	410	410	370	350	265	200	80	0
Cargo Rumer (C)	ОВ	_	180	355	335	345	365	370	435	410	335
Topping-lift	ΙB		2, 105	2, 480	2, 585	2,515	2, 385	2, 185	1,920	1,775	1,740
Wire (T)	0 B		1,340	1,470	1,600	1,645	1,710	1,735	1,830	1,820	1,785
Center Guy (S)		_	35	0	0	0	0	0	25	65	120
Standing Guy (G)	ΙB		1,000	1,230	1,390	1, 415	1,340	1, 175	1,405	875	935
Standing Guy (G)	0 B	_	1, 170	1,440	1,595	1,585	1,580	1,440	1,315	1,165	895
December Corr (C/)	ΙB	_	0	0	0	0	0	0	0	. 0	0
Preventer Guy (G')	ОВ	_	0	0	0	0	0	0	0	0	0

Table. 10 The Tensions in Wire-ropes (kg) 各ワイヤロープにかかる張力 (kg)

Position of carg	go load		1	-									
Wire Ropes	(<i>l</i> m)	-3	2	-1	0	1	2	3	4	5	6	7	8
Cargo Wire (C)	ΙB	460	420	380	425	425	415	410	380	310	270	215	10
cargo wire (c)	ОВ	0	0	145	210	280	355	400	420	420	470	565	540
Topping-lift	I B	2, 290	2,320	2,330	2, 405	2,510	2,625	2,630	2,580	2,465	2, 250	2,000	1,655
Wire (T)	ОВ	1, 195	1, 185	1,305	1,430	1,540	1,613	1,705	1,800	1,850	1,890	1,930	1,940
Center Guy (S)		140	110	. 55	20	10	5	0	. 0	0	5	25	90
Standing Guy (G)	ΙB	835	860	965	1,095	1,225	1,440	1,550	1,540	1,470	1,335	1,105	860
Standing Guy (G)	ОВ	760	675	805	955	1, 135	1,260	1,385	1,320	1,280	1, 155	965	730
December Corr (C/)	I B	0	0	0	0	10	0	10	25	0	15	15	15
Preventer Guy (G')	ОВ	30	30	30	30	40	50	40	45	40	40	40	35

Table. 11 The Tensions in Wire-ropes (kg) 各ワイヤロープにかかる張力 (kg) Lay out of Derrick; No. 5 Cargo runs from OB Side to IB Side

T / 1	1. 1 - -	/ VC 13-1	いる扱力	$\int (\mathbf{R}\mathbf{A})$,	cargo	i uns	.10111	ישוכ על	e to 1	D Sine
Position of carg	go load l m)	-3	-2	-1	0	1	2	3	4	5	6	7	8
Cargo Runner (C)	ΙB	405	425	405	425	400	400	385	400	320	255	80	0
Cargo Rumer (C)	ОВ	10	20	120	175	285	340	390	435	445	510	455	505
Topping-lift	ΙB	2, 195	2, 175	2, 235	2, 325	2,540	2, 555	2,595	2,580	2,355	2, 155	1,730	1,620
Wire (T)	ОВ	1, 135	1, 175	1,280	1,380	1,520	1,640	1,760	1,805	1,860	1,980	1,890	1,960
Center Guy (S)		140	75	30	0	0	0	0	0	0	15	50	115
Standing Guy (G)	ΙB	705	800	870	1,025	1,305	1,390	1,475	1,555	1,500	1, 195	860	860
Standing Guy (G)	ОВ	610	615	775	910	1,080	1,200	1,330	1, 435	1,235	1, 170	825	675
Preventer Guy (G')	ΙB	15	15	15	15	15	15	15	15	15	15	. 15	15
· · · · · · · · · · · · · · · · · · ·	0 B	40	40	40	· 40	40	40	40	40	40	40	40	40

Table. 12 The Tensions in Wire-ropes (kg) 各ワイヤローブにかかる張力 (kg) Lay out of Derrick; No. 6 Cargo runs from IB Side to OB Side

Position of carg	go load		-	0		4	_	C		
Wire Ropes (l m)		0	T	2	3	4	5	6	7	8
Cargo Runner (C)		408	380	375	359	325	280	165	120	25
Cargo Kunner (C)	ОВ	160	235	280	320	380	390	445	445	465
Topping-lift	ΙB	1,725	1,715	1,675	1,665	1,610	1,505	1,425	1,270	1,190
Wire (T)	ОВ	1, 345	1, 470	1,530	1,615	1, 685	1,745	1,790	1,780	1,830
Center Guy (S)		55	20	10	5	0	5	20	60	115
Standing Guy (G)	ΙB	1,030	1,180	1, 265	1,340	1,375	1,290	1,220	1,055	960
Standing Guy (G)	ОВ	1,100	1,245	1,290	1,335	1,360	1, 295	1,235	1,000	965
Proventor Cur (C/) I B		0	0	0	0	0	0	0	0	0
Preventer Guy (G') 0 B		0	0	0	0	0	0	0	0	0

Table. 13 The Tensions in Wire-ropes (kg) 各ワイヤロープにかかる張力 (kg)

Position of carg	go load (l m)	0	1	2	3	4	5	6	7	8
Wire Ropes	(V 111)	. 0	1		3	4	3	0	•	
Carron Burnon (C)	ΙB	420	410	385	325	320	265	190	40	0
Cargo Runner (C)	ОВ	230	290	340	395	395	430	440	485	485
Topping-lift	ΙB	1,765	1,740	1,735	1,705	1,630	1,525	1, 425	1, 200	1, 155
Wire (T)		1,390	1,485	1,600	1,700	1,720	1,750	1,805	1,905	1,890
Center Guy (S)		30	0	0	0	5	5	35	80	140
Standing Com (C)	ΙB	1,125	1,314	1,390	1,470	1,445	1,340	1,140	1,120	915
Standing Guy (G)	ОВ	1, 185	1,305	1,425	1,475	1,415	1,275	1,095	1,075	960
Proventor Cov. (C/) I B		0	0	0	0	0	0	0	0	0
Preventer Guy (G') OB		0	0	0	0	0	0	. 0	0	0

Table. 14 The Tensions in Wire-ropes (kg) 各ワイヤロープにかかる張力 (kg) Lay out of Derrick; No. 7 Cargo runs form IB Side to OB Side

dargo rano total in olde to OB Side												Side		
Position of carg (Wire Ropes	o load l m)	-4	-3	-2	-1	0	1	2	3	4	5	6	7	8
Cargo Runner (C)	ΙB	390	410	400	390	355	335	295	265	240	175	130	80	50
Cargo Runner (C)	ОВ	205	260	305	315	355	395	400	425	430	440	475	505	495
Topping-lift	ΙB	1,305	1,330	1, 215	1,235	1,165	1,125	1,075	1,035	1,020	950	920	885	860
Wire (T)	ОВ	995	1,040	1,090	1,120	1,200	1,260	1,285	1,325	1,365	1,410	1,445	1,500	1,530
Center Guy (S)		125	75	75	70	70	75	75	80	85	100	145	140	175
Standing Guy (G)	ΙB	0	0	0	0	0	0	0	0	0	0	0	0	0
Standing day (d)	O B	0	0	0	0	0	0	0	0	0	0	0	0	0
Preventer Guy (G')	I B	710	870	815	925	920	915	860	825	765	715	625	545	525
rieventer duy (d)	ОВ	745	850	885	890	950	1,005	925	870	7 95	780	640	685	620

Standing guy loose for test, as follower.

Table. 15 The Tensions in Wire-ropes (kg) 各ワイヤロープにかかる張力 (kg) Lay out of Derrick; No. 7 Cargo runs from OB Side to IB Side

	1 1													
Position of carg (Wire Ropes	l m)	-4	-3	-2	-1	0	1	2	3	4	5	6	7	8
Cargo Runner (C)	ΙB	360	365	365	385	360	340	335	190	145	130	95	50	
Cargo Runner (C) O B		235	240	295	325	375	360	395	460	465	505	485	490	
Topping-lift	IΒ	1,275	1,305	1,275	1,225	1,265	1,245	1,165	1, 140	915	850	875	870	
Wire (T)	ОВ	1,030	1,030	1,095	1,160	1,220	1,230	1,285	1,440	1,425	1, 465	1,480	1,525	
Center Guy (S)		85	85	75	75	75	75	. 80	80	110	110	135	165	
Standing Guy (G)	IΒ	0	0	0	0	0	0	0	0	0	0	0	0	
Standing Guy (G)	ОВ	0	0	0	0	0	0	0	0	0	0	0	0	
Preventer Guy (G')	IB	745	785	835	860	845	905	815	810	620	610	550	525	
Treventer day (d)	ОВ	890	885	910	890	1,015	905	865	860	850	765	695	685	

Table. 16 The Tensions in Wire-ropes (kg) 各ワイヤロープにかかる張力 (kg) Lay out of Derrick; No. 7 Cargo runs from IB Side to OB Side

担义工		10-11-10		Oargo	J 1 4115 1.	tom ID	orde to	OD Side		
Position of carg	go load (l m)	0	1	2	3	4	5	6	7	8
Cargo Runner (C)	IΒ	315	300	260	235	190	155	90	20	0
Cargo Rumier (C)	ОВ	320	360	395	430	435	445	465	455	465
Topping-lift	IB	1,120	1,080	1,040	1,000	950	930	850	820	820
Wire (T)	ОВ	1,120	1,190	1,235	1,290	1,360	1,400	1,435	1,440	1,450
Center Guy (S)	_	260	270	270	275	285	300	305	340	365
Standing Guy (G)	IB	0	0	0	. 0	0	0	0	0	0
Standing duy (d)	ОВ	0	0	0	0	0	0	. 0	0	0
Preventer Guy (G')	ΙB	1,580	1,580	1,575	1,500	1,440	1,360	1,275	1,170	1,090
rieventer duy (d)	ОВ	1,645	1,635	1,665	1,600	1,535	1, 435	1,385	1,215	1, 195

Table. 17 The Tensions in Wire-ropes (kg) 各ワイヤロープにかかる張力 (kg) Lay out of Derrick; No. 7 Cargo runs from OB Side to IB Side

177		10,000		Cargo	, ruiis i	OIL OD	Diac to	ID Olde		
Position of care Wire Ropes	go load l m)	0	1	2	3	4	5	6	7	8
C B (C)	ΙB	_	335	310	265	225	125	70	40	
Cargo Runner (C)	ОВ	_	400	395	410	420	415	455	435	
Topping-lift	ΙB		1,175	1, 130	1,020	1,020	940	925	870	
Wire (T)	ОВ		1, 160	1, 205	1, 265	1, 315	1,360	1,455	1, 425	
Center Guy (S)			150	155	155	160	170	185	210	
Standing Com (C)	ΙB		0	0	0	0	0	0	0	
Standing Guy (G)	ОВ	_	0	0	0	0	0	0	0	_
Description Cores (C/)	ΙB	_	1,085	1,110	995	975	835	760	725	
Preventer Guy (G')	ОВ		1,085	1,065	1,030	980	870	785	685	

Table. 18 The Tensions in Wire-ropes (kg) 各ワイヤロープにかかる張力 (kg) Lay out of Derrick; No. 7 Cargo runs from IB Side to OB Side

Position of cargo load .											
	l m)	0	1	2	3	4	5	6	7	8	
Cargo Punnos (C)	ΙB	410	385	345	310	230	160	115	0		
Cargo Runner (C) 0 B		440	485	480	455	460	420	435	430	_	
Topping-lift	ΙВ	1, 170	1, 115	1,050	1,030	985	905	905	870		
Wire (T)	ОВ	1, 150	1,205	1, 225	1,305	1, 375	1, 410	1, 415	1, 515		
Center Guy (S)		95	95	95	95	100	110	130	155		
Standing Guy (G)	ΙB	0	0	0	0	0	0	0	0	_	
Standing Guy (G)	ОВ	U	0	0	0	0	0	υ	0		
Proventer Cuy (C/) I B		1,365	1,390	1, 325	1, 255	1, 130	975	870	685		
Preventer Guy (G') 0 B		1,340	1,365	1,310	1,230	1,120	940	805	635	_	

Table. 19 The Tensions in Wire-ropes (kg) 各ワイヤロープにかかる張力 (kg) Lay out of Derrick; No. 7 Cargo runs from OB Side to IB Side

₽ '		1-10 10 10	00							
Position of carg	o load lm)	0	1	2	3	4	5	6	7	8
Cargo Runner (C)	ΙB	405	385	405	285	225	165	60	0	70
Cargo Kunner (C)	ОВ	460	535	530	465	460	435	465	460	440
Topping-lift	IΒ	1, 145	1, 130	1, 110	1, 035	965	935	890	870	870
Wire (T)	ОВ	1, 150	1,250	1,310	1,335	1,340	1, 410	1,510	1,545	1, 415
Center Guy (S)		90	95	105	95	95	110	155	175	205
Standing Guy (G)	IΒ	0	0	0	0	0	0	0	0	0
Standing Guy (G)	ОВ	0	0	0	0	0	0	0	0	0
Preventer Guy (G')	ΙB	1,360	1,335	1,290	1,180	1,080	945	740	625	550
rieventer duy (G')	ОВ	1, 325	1,315	1, 245	1,165	1,060	905	675	590	550

(2) 地切りの際の各ワイヤロープにかかる張力 デリックの設定は **Table**. 1 の No. 8 により行な った. 吊荷 (500 kg) はハッチの中心線上に置き, 合 図者の合図により 2 人の運転者に同時に巻き上げをさ せた. この地切りの瞬間の各ワイヤロープの張力の変化を Fig. 6, Fig. 7 に示す. またこの瞬間の最大値を Table. 20 に示した.

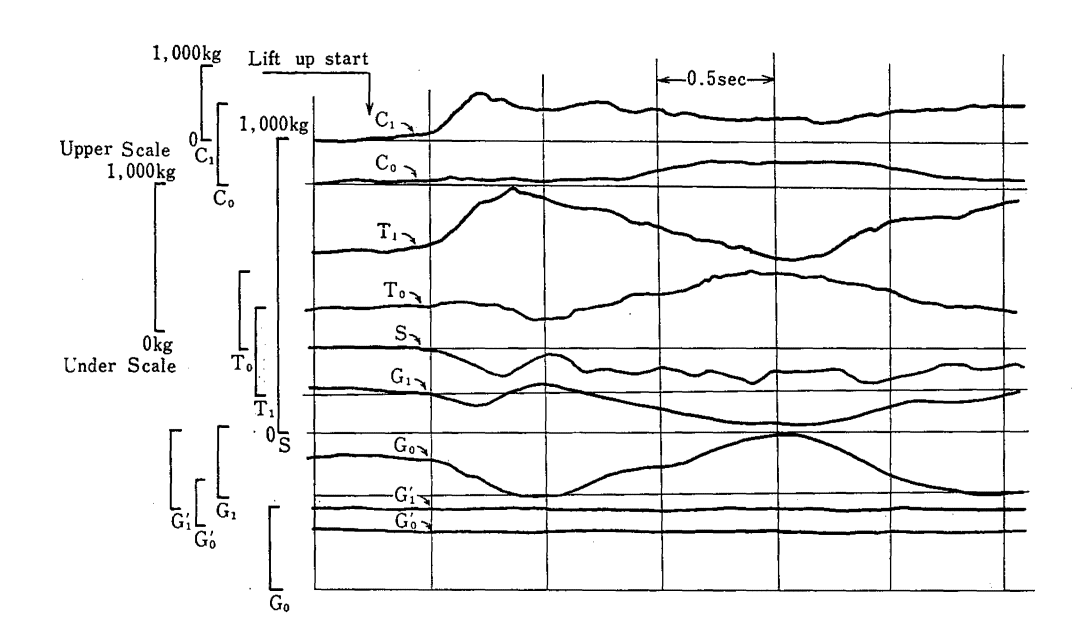


Fig. 6 Oscillograph of tensions at lifting up (Low speed) 地切りの際の張力のオッシログラフ(低速)

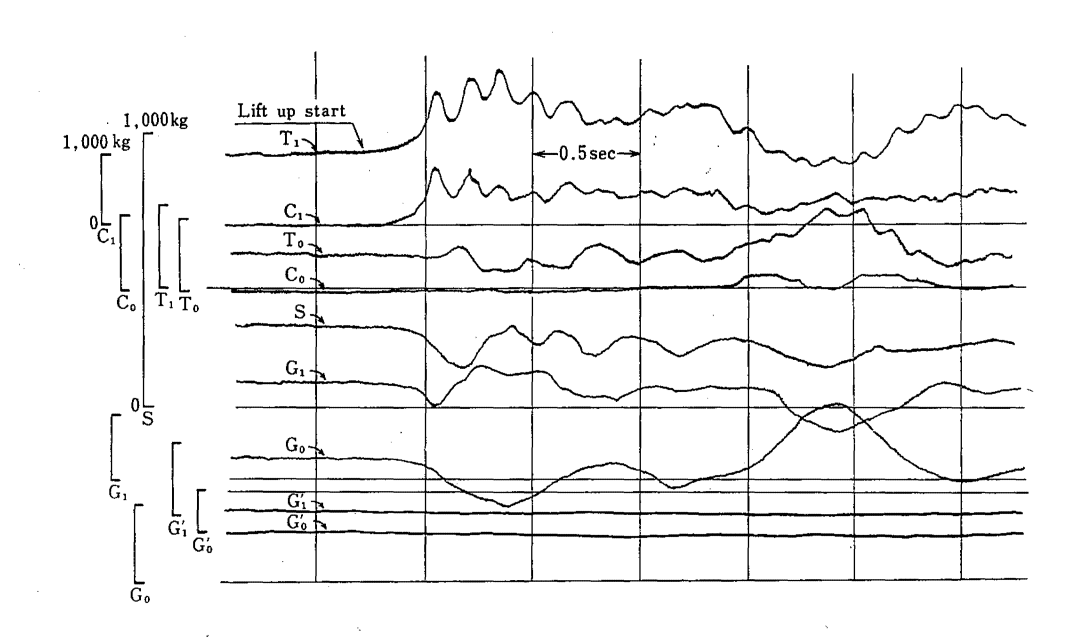


Fig. 7 Oscillograph of tensions at lifting up (High speed) 地切りの際の張力のオッシログラフ (高速)

		TE 91 7 50 BK N		てできる。	(128)	
			Operated by	double gear	Operated by	single gear
Wire-Ropes		Before lift up	At lifting up	load by lifting up only	At lifting up	load by lifting up only
C H: (0)	IΒ	0	640	640	540	540
Cargo Wire (C)	ОВ	0	380	380	650	650
Topping-lift	ΙB	1,570	2, 310	740	2,640	1,570
Wire (T)	ОВ	365	875	510	985	620
Center Guy (S)		305	180	-125	155	-150
	ΙВ	1,540	1,310	-230	1,770	230
Standing Guy (G)	ОВ	1,500	1,785	285	2, 170	670
	ΙB			_		
Preventer Guy (G')	ОВ		_			-

Table. 20 The Tensions on Wire-ropes at Lifting up (kg) 地切りの際に各ワイヤロープにかかる張力 (kg)

[Note] Preventer Guy loosed for test.

(3) 巻き下げ急停止させた場合

デリックのブーム・ガイの設定は **Table**. 1 の No. 8 による. 吊荷 (500 kg) をハッチの略中央にて一定 の高さまで吊り上げ停止させ、しかる後所定の距離を 巻き下し急停止させ、その際の各ワイヤロープにかか る張力を測定した. そのオッシログラフの例を **Fig.** 8, **Fig.** 9 に示す. **Fig.** 8 はテスト No. 3, **Fig.** 9 は No. 9 の場合である.

Table. 21 のテスト No. 1 · No. 2 は吊荷がハッチ

中央でハッチコーミング上端より 2m の高さから 2m 降下させ急停止した場合, No. $3\cdot$ No. $4\cdot$ No. 5 は コーミング上端より 3m の高さから 3m 降下させて 急停止させた場合, No. $6\cdot$ No. 7 はハッチコーミング上端より 3m の高さから 5m だけ荷を降下させて 急停止させた場合, No. 8 は 3m と 2m 降下急停止, No. 3m No.

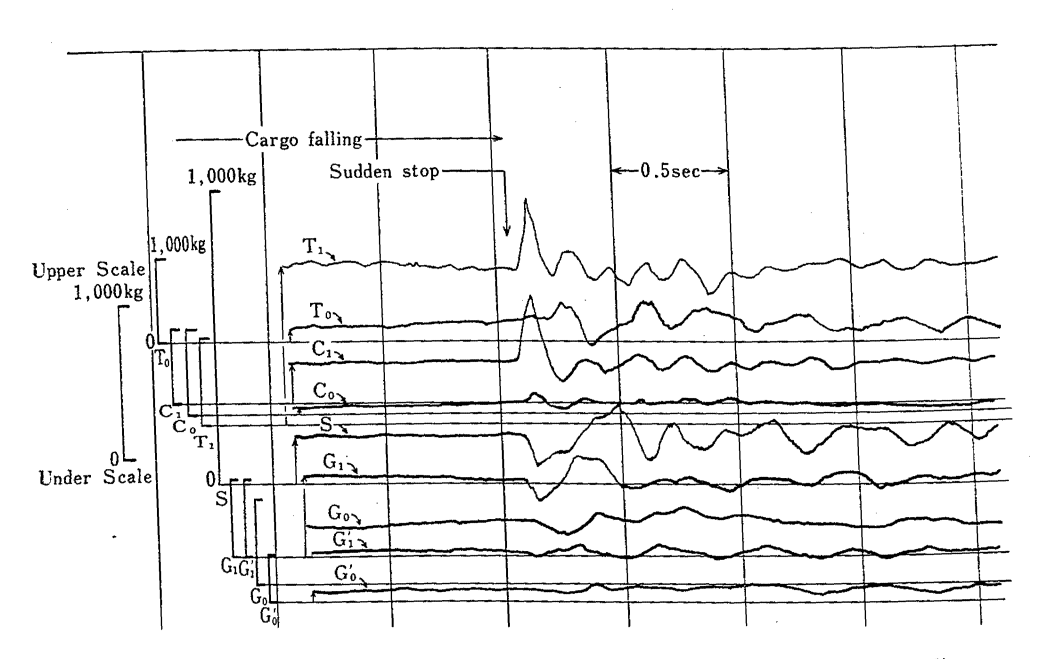


Fig. 8 Shock loads on Wire-ropes at sudden stop (winch low speed) 急停止の際の衝撃荷重(低速)

Table. 21 Shock Loads on Wire-ropes at Sudden Stop (kg) 下降急停止の際の衝撃張力 (kg)

		Cargo Bunners (C)		Toppir Wire	ng-lift (T)	Center Guy	Standin (C		Prevent (G			ote
No. Test		ΙВ	ОВ	IВ	ОВ	(S)	ΙB	ОВ	ΙВ	ОВ	Fall of Cargo	Gear
	i	1,255	170	2,510	320	315	1, 465	870	200	445		
No. 1	ii	440	50	1,860	185	240	1,190	750	100	400	2m	Double
	iii	2.86	3.32	1.35	1.75	1.31	1.23	1.16	2.00	1.10		<u> </u>
	i	785	320	2,070	463	280	1, 420	950	180	525		
No. 2	ii	440	50	1,860	185	240	1,190	750	100	400	2m	//
	iii	1.75	6. 26	1.11	2. 53	1.16	1.19	1. 27	1.80	1.30		
	i	1, 290	170	2,620	410	330	1, 465	2, 290	205	565		
No. 3	ii	440	- 50	1,860	185	240	1,190	750	100	400	3m	//
	iii	2.88	3.32	1.40	2. 25	1.37	1.23	3.06	2.05	1.41		
	i	1,310	145	2,650	420	335	1,465	880	190	550		
No. 4	ii	440	50	1,860	185	240	1,190	750	100	400	3m	//
	iii	2. 92	2.86	1.42	2.30	1.40	1.23	1. 17	1. 90	1.36		
	i	1,350	330	2, 525	505	270	1,405	790	195	300		
No. 5	ii	495	140	1,780	280	185	1,100	725	60	290	3m	//
	iii	2.74	2.34	1.41	1.81	1.92	1.28	1.09	3. 27	1.03		
	i	1,020	275	2, 255	510	245	1, 250	825	160	400		
No. 6	ii	485	110	1,745	285	130	1,110	765	60	315	5m	//
	iii	2.11	1.44	1. 29	1.79	2.04	1.12	1.08	2. 68	1.26		
	i	1, 160	450	2, 345	635	255	1,300	890	160	500		
No. 7	ii	460	180	1,725	310	180	1, 105	730	90	330	5m	, <i>,,</i> ,
	iii	2. 52	2.49	1.35	2.02	1.40	1.17	1.21	1.77	1.50		
	i	870	740	1,945	590	205	1,500	1, 155	135	580		
No. 8	ii	415	140	1,715	300	170	1,055	695	50	250	2m	Single
	iii	2. 11	5. 24	1.13	1.96	1.18	1.42	1.60	2.72	2.37		
	i	2,040	365	3,210	720	415	1,760	1.015	280	515		
No. 9	ii	455	125	1,660	275	160	1,040	750	65	274	3m	//
	iii	4.50	2.86	1. 93	2. 62	2. 59	1.69	1, 44	4.40	1.87		
	i	1,845	380	2,900	640	370	1,600	820	265	515		
No.10	ii	450	55	1,645	245	170	1,035	690	2 85	315	3m	//
	iii	4.12	6.81	1.76	2.60	2. 17	1.54	1.18	3. 18	1.62		1

i : Shock Load ii : Tensions of Wire-ropes at Static Load iii : Ratio i/ii

(4) 吊荷が揺動した場合の各ワイヤロープの張力 荷を吊り上げて揺動させた場合、それによって各ワ イヤロープには動荷重が作用する. これを測定するた めに, ブーム・ガイの設定は **Table**. 1 の No. 4 と 同じくし、吊荷を一定の位置すなわち、ハッチ中央・ 内ブーム直下、外ブーム直下において一定の高さ(吊 荷の底面がブルワークの高さに等しい)になっている 三つの場合について行なった. 揺動は荷を所定の位置 まで巻き上げた後,人手によって荷を次第に揺動させ, 一定の振幅(振幅約3m)になった時,外力を加える のを停止し, この時の各ワイヤロープの張力を記録し

た. 揺動の方向は、船体と同一方向の場合と、これに 直角な方向とについて行なった. 記録は、静かに荷を 吊った場合を基準とし、揺動により増減した分を測定 した. **Table**. 22 はこれを示す.

5. ガイの位置による張力の変化

以上の測定は、ガイの位置の設定がそれぞれ1ケー スであるため、ガイの設定位置による影響は解らな

ガイの下端はブルワーク等に固定される. 言うまで

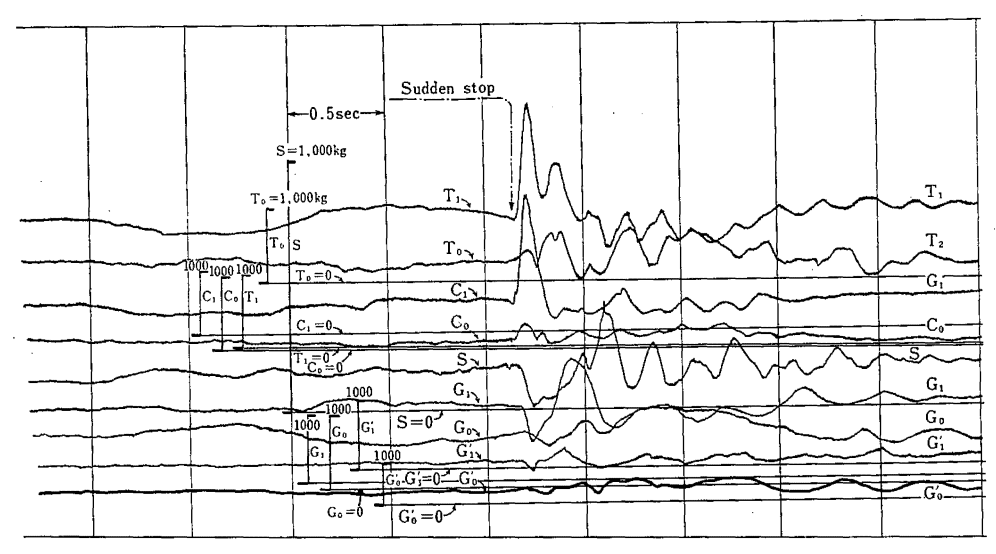


Fig. 9 Shock loads on Wire-ropes at sudden stop (winch high speed) 急停止の際の衝撃荷重(高速)

Table. 22 Dynamic Loads of Wire-ropes when Cargo is swinging (kg) 吊荷が揺動した場合の動荷重 (kg)

				Wi	re-rop	es				Not	e			
No. of	Car Runne	go r (C)	Toppin Wire		Center Guy (G)			Prev Guy	enter (G')	Direction of Swing /to the fore and af-\	Position of	Angle between		
Test	ΙВ	ОВ	ΙB	ОВ	(S)	ΙВ	ОВ	ΙB	ОВ	(tline of the Vessel)	Corgo	Run- ners(ω°)		
No. 1	+34 -137	+124 -91						0	0	perpendicular	Center in Hatch	60°		
No. 2	+5 -5				1			0	0	parallel	"	65°		
No. 3	±9	±38	±93	±16	±1	±12	±52	0	0	parallel	under IB Head			
No. 4	±0	±0	±188	±69	±29	±183	±217	0	0	perpendicular	//	_		
No. 5	±27	±51	±103	±168	±16	±103	±176	0	0	parallel	on Bull work			
No. 6	±172	±169	±494	±399	±39	±334	±427	0	0	perpendicular	"	_		
No. 7	±0	±8	±133	±168	±29	±127	±168	0	0	parallel	under OB Head			
No. 8	±69	±69	±236	±163	±24	±175	±284	0	0	perpendicular	//	_		

もなく作業中ガイにかかる張力はできるだけ小さいことが望ましい. しかしその位置によっては張力が極端に大きくなる場合があるので, 計算により求めた結果を図表にて示す.

前述の揚貨装置を対象として行なったものであるが 計算は、ブーム先端に一定の水平力(方向は船に直 角)が働いたとき、各位置のガイに働く張力を求め、 これを上記一定水平力との比 G/S_H で表わした.

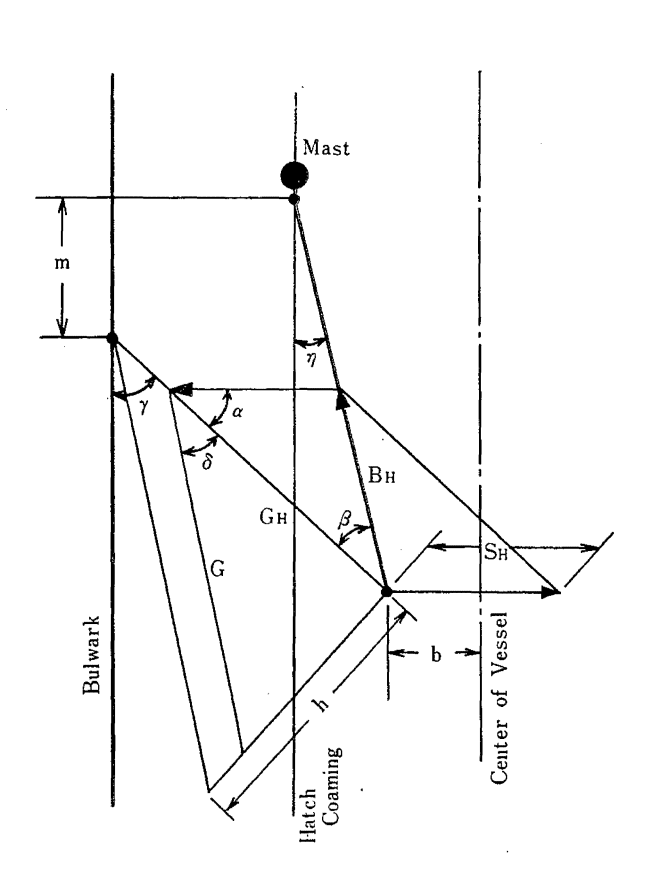
$$\sin \eta = \frac{2 - b}{L \cos \theta} \tag{1}$$

$$\tan \gamma = \frac{5 - b}{L \cos \theta \cos \eta - m} \tag{2}$$

$$\beta = \gamma - \eta$$
 3

$$\frac{G_H}{\sin \eta} = \frac{S_H}{\sin \beta} \tag{4}$$

$$p\sin\gamma = 5 - b \tag{5}$$



L: Boom length

b : Horizontal distance from boom head to Vessel center-line.

m: Position of fixed point of guy.

 η : Horizontal angle between boom and vessel center-line.

 S_H : Horizontal load at boomhead.

Bu: Horizontal component of the boom axis

 G_H : Horizontal component of guy tension.

G: Tenision in guy.

 δ : Angle of guy with horizontal.

h: Vertical hight of guy from low end.

P: Horizontally length of guy.

 γ : Angle between bulwark and horizontal projection of guy.

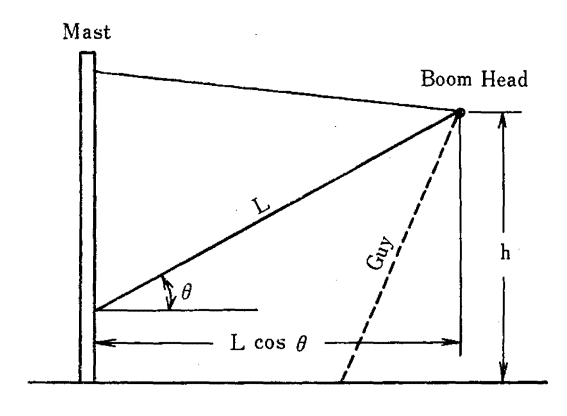


Fig. 10 Diagram of Guy ガイ計算図

(6)

(7)

$$\delta = \tan^{-1} \frac{h}{p}$$

$$G\cos\delta = G_H$$

ここに L:ブームの長さ

b:ブーム先端の位置

m: ガイの固定位置

η:ブームの割り角

 $S_H: ブーム先端にかかる水平外力$

B_H:ブーム軸方向の水平分力

 G_H :ガイの水平分力

G:ガイにかかる力

δ:ガイの水平面となす角

h : ガイの垂直距離

p:ガイの水平距離

 Υ : ブルワークとガイの水平投影とのなす角 ブームの仰角 θ は 45°, 40°, 35°,25°の 4種の場合, ブーム先端の位置bはハッチ中央から舷外 3m までの間を対象とした. Fig. 11~Fig. 14 は, ブームの先端の位置を決めた場合, Fig. 15~Fig. 18 は, ガイの固定位置を決めた場合の張力変化を示す.

これより

$$G/S_H = \frac{2-b}{f(b, m)}$$

$$f(b \cdot m) = L \cos \theta \cdot \sin \theta$$

$$\left[\tan^{-1}\frac{5-b}{L\cos\sin^{-1}\frac{2-b}{L\cos\theta}}-\sin^{-1}\frac{2-b}{L\cos\theta}\right].$$

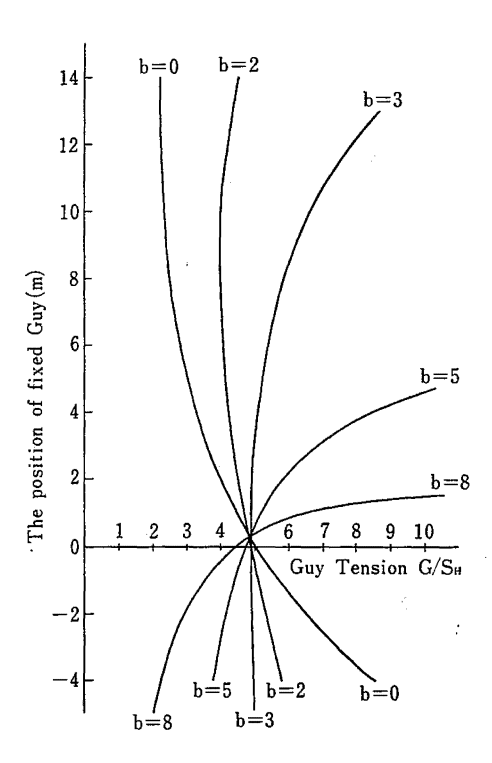


Fig. 11 Guy Tensions on θ =45° ガイ張力 θ =45°

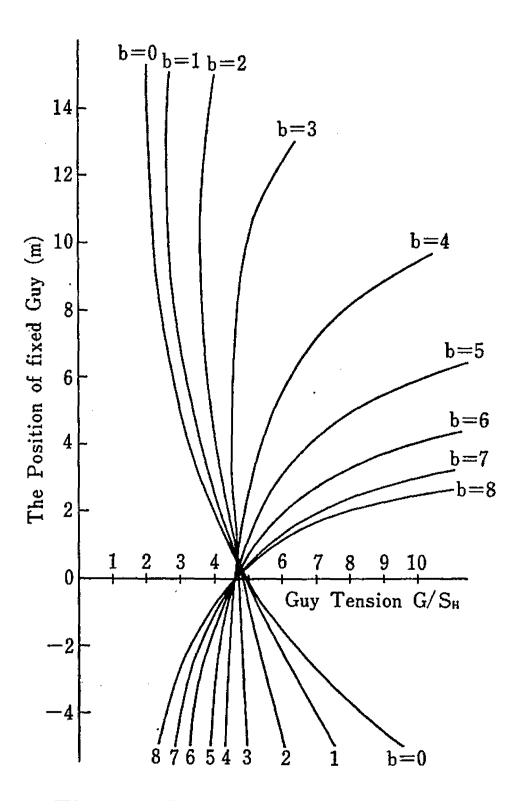


Fig. 13 Guy Tensions on θ =35° ガイ張力 θ =35°

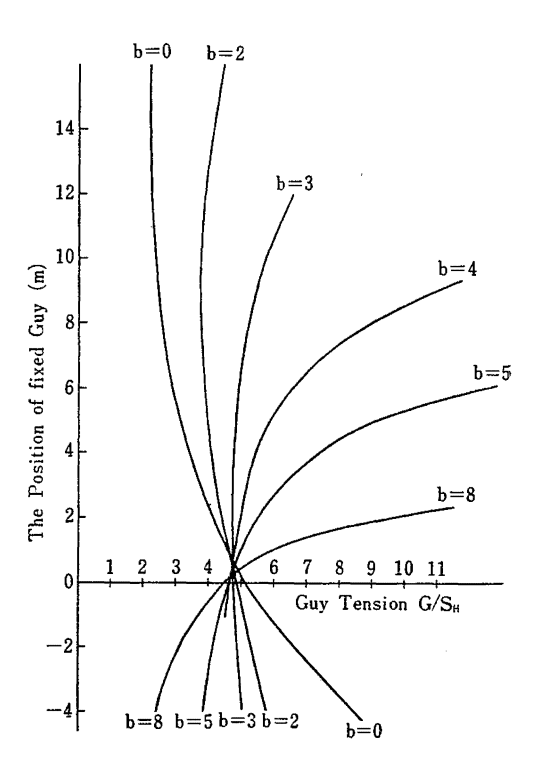


Fig. 12 Guy Tensions on $\theta \! = \! 40^\circ$ ガイ張力 $\theta \! = \! 40^\circ$

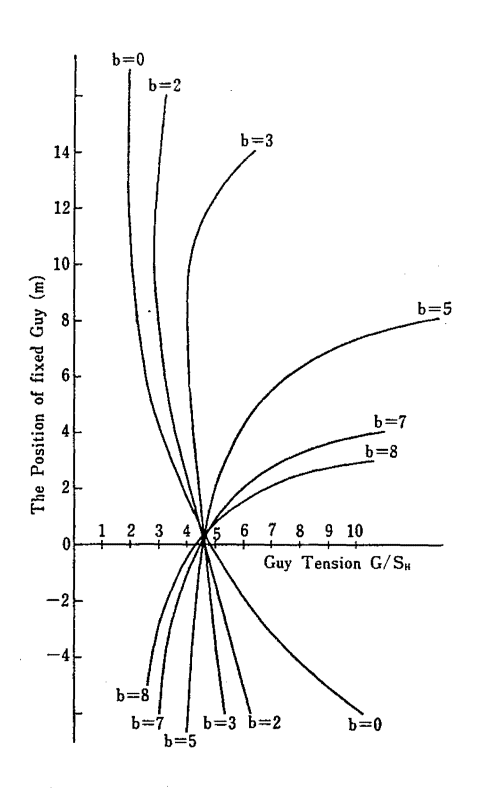


Fig. 14 Guy Tensions on θ =25° ガイ張力 θ =25°

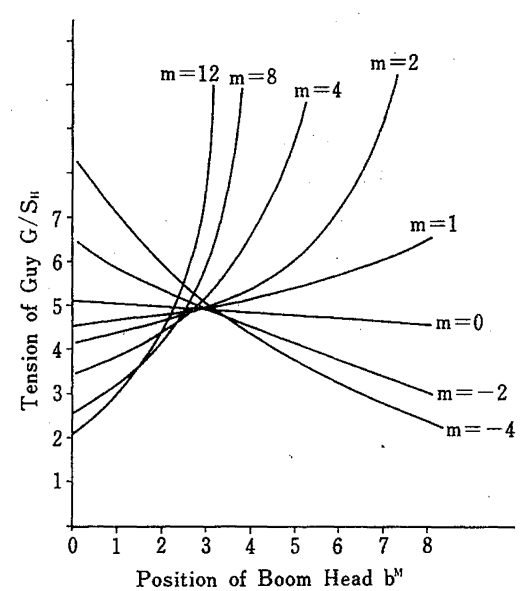


Fig. 15 Guy Tensions on Derrick Angle 45° ブーム仰角 45° の場合のガイの張力

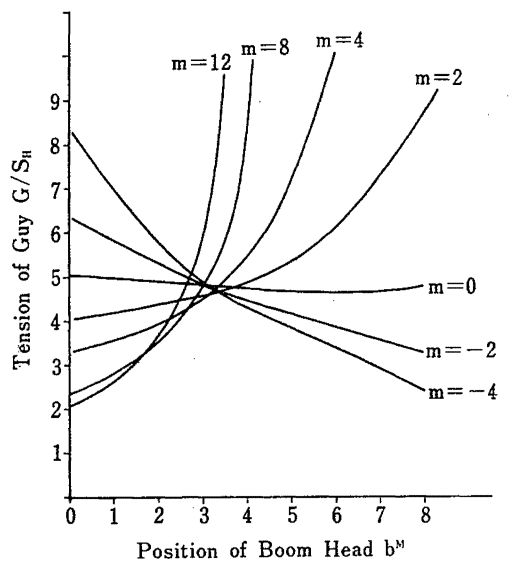


Fig. 17 Guy Tensions on Derrick Angle 35° ブーム仰角の 35° 場合のガイの張力

6. 考察

Table. 2~Table. 19 に至る測定は、出来るだけ 円滑に荷を移動させたものであるが、測定した荷重の 変動はそれ程滑らかではない. これは2人の運転士が それぞれウインチを運転するために充分な協同動作が 出来ないためと見られるもので、通常の運転では更に

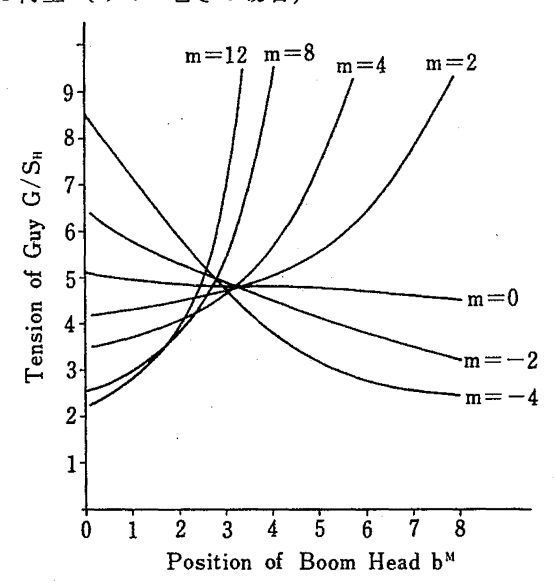


Fig. 16 Guy Tensions on Derrick Angle 40° ブーム仰角 40°の場合のガイの張力

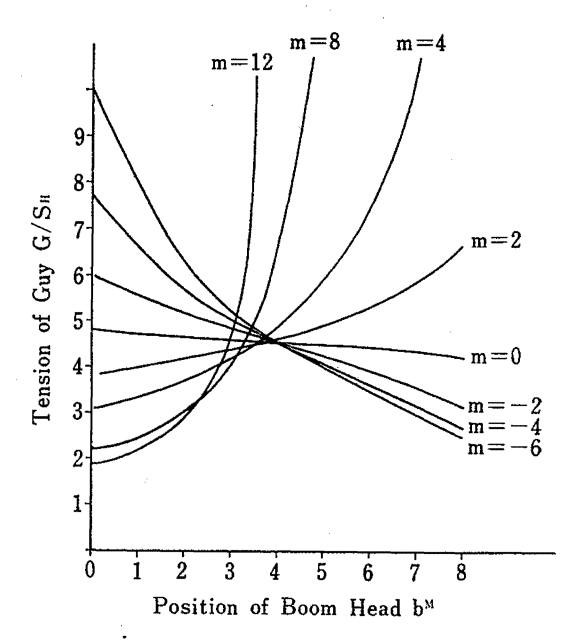


Fig. 18 Guy Tensions on Derrick Angle 25° ブーム仰角 25° の場合のガイの張力

大きな変動荷重が発生する事が予測されるであろう.

また、ガイにかかる張力は、カーゴワイヤーの水平分力とセンターガイの張力の水平分力の和に比例して発生するものであるが、これらの実験装置の設定では、静力学的には不静定であり、なお各ワイヤロープのばね定数も不明であったので、その張力の予測ができなかった。この実験で、センターガイの初張力は概略 200 kg 程度であることが確認できた。またカーゴ

ワイヤーの水平分力は荷が両ブームの略中央にある時、最大となるので、500 kg の荷でもガイには 1.5 ton を越す張力が働く事が認められる。また、ガイの張力に応じてトッピングリフトにも大きな張力が作用し、何れの場合も 2 ton を越す張力が作用している。

地切りの際の動荷重 **Table**. 20 は両カーゴワイヤーを同時に巻き上げる事は不可能に近く,何れもどちらか一方が先に引き上げられるため,二者は相当の開きが認められる.両者の和は静荷重の 2 倍強となっている.

また、下降急停止の際の衝撃張力は地切りの際より 大きな動荷重が働き **Table**. 21 に示す様に、カーゴ ワイヤでは静荷重の最大 6.8 倍、平均 2~3 倍の張力 が働く.

トッピングリフトも同様に2倍程度の荷重が作用するが、スタンディングガイは逆に余り大きい張力とはならない。 吊荷の揺動もまた Table. 22 大きな張力となるが、荷が前後に揺れる際はそれ程大きな変動とはならないが、左右に振れる場合は極めて大きな影響を及ぼす。これは、荷の振幅は同じでも振り角が異なるためである。

ガイの設定位置による変化は計算にて示したが、 $\theta=25^\circ$ の場合は、ブーム先端の位置が $b=4\,\mathrm{m}$ 、 $\theta=35^\circ$ では $b=3.3\,\mathrm{m}$ 、 $\theta=40^\circ$ では $b=3\,\mathrm{m}$, $\theta=45^\circ$ では $b=2.8\,\mathrm{m}$ 以内であれば先端の位置に応じてガイにかかる張力の小さい点はグースネックの位置より前にある事が解る。又これらの点より外にブーム先端がある場合には、グースネックの真横より更に後にガイを固定した方が良い。然し余り後にとるとジャックナイフの危険があるので、グースネックの横付近が無難であろう。この付近にとれば、ブーム先端の位置が変ってもガイにかかる張力は余り変化しないですむ。

7. 結 言

以上の実験によって標準的な段取りによるワイヤロープの荷重の傾向が確認された。特に巻き下げ急停止の場合には、吊荷静荷重の数倍の動荷重の働くことや揺動によっては5割増の張力ともなる事が解った。ただし実験に使用した揚貨装置は訓練用に陸上に設置されたものであるので、本船の場合と若干の相違がある事は懸念されるが、左程大きいものではないであろう。

参考文献

1) L. LINDER "Safe Working Loads of Lifting Tackle" Coubro & Scrutlon LTd and Maritime & Industrial Services LTd.

(昭和 44 年 5 月 30 日受付)

産業安全研究所研究報告 RIIS-RR-18-2

昭和 44 年 7 月 25 日 発行 発行所/労働省産業安全研究所 東京都北多摩郡清瀬町梅園1丁目4番6号 電 話 (0424) 91—4 5 1 2 番(代)

印刷所 新日本印刷株式会社

郵便番号 180-04

UDC 621.873

揚貨装置のワイヤロープに作用する荷重(けんか巻きの場合)

袴塚禎三・粂川壮一

産業安全研究所研究報告 RIIS-RR-18-2, 1~18 (1969)

揚貨装置のけんか巻きの場合の各ワイヤロープにかかる張力を測定した.揚貨装置の設 定は代表的な7つの型を選び、次の様な操作における各ワイヤロープの張力を測定した.

- 1) 吊荷が横に水平移動する時. この結果ではトッピングリフトワイヤには吊荷の重量 の約5倍、ガイには約3倍の張力がかかることがある。
 - 2) 地切りの際.
 - 3) 吊荷を急停止させた場合.
 - 4) 吊荷が船の方向又はこれと直角に揺動した場合.

なおこの外、ガイの最適固定位置を知るために、位置による張力の変化を計算により求 めた.

(表 22, 図 18)

The Tensions in Wire-ropes of Ship's Derricks (on Union Purchase)

T. Hakamazuka, S. Kumekawa

Research Report of the Research Institute of Industrial Safety

RIIS-RR-18-2, 1~18 (1969)

We measured the tensions of wire ropes on union purchase. Measurments of the following loads were done for 7 typical layouts of derricks.

- 1) The tensions of wire-ropes when the cargo load runs from side to side horizontally.
 - 2) The tensions when the load is being lifted up.
 - 3) The shock loads at sudden stop.
 - 4) The tensions when cargo load is swinging. Besides, we calculatel and discussed the tensions of guy.

(22 Tables, 18 Illus.)